

GES	Journal of Geography and Environmental Studies, 11 (44), Winter 2023 <a href="https://ges.iaun.iau.ir">https://ges.iaun.iau.ir</a> ISSN: 2008-7845  20.1001.1.20087845.1401.11.44.3.6
-----	---

Research Article

## **Explaining the Relationship between Thermal Islands and a Number of Morphological Factors of the City Using Remote Sensing and GIS (Case Study: Ahvaz)**

**Azimi, Elaheh**

M.Sc. Graduate of Urban Planning, Yazd University, Yazd, Iran.

**Akbari, Reza**

Assistant Professor, Department of Urban Planning, Faculty of Art and Architecture, Yazd University, Yazd, Iran.

**Armin, Mohsen (Corresponding Author)**

Assistant Professor, Natural Resources Engineering Department, Faculty of Agriculture and Natural Resources, Yasouj University, Yasouj, Iran.

### **Abstract**

In this research, land use map was prepared by maximum likelihood method in 8 areas of Ahvaz city and altitude and slope maps were prepared. To evaluate the classification accuracy of the land use map, the error of the classified image was compared with a reference image containing a number of ground control points. The map of urban thermal islands was prepared using a separate window algorithm on the Landsat 8 satellite data set in the ENVI software environment. The results showed that the prepared land use map has an kappa coefficient of 86% and good accuracy and credit. The relationship between land use and thermal islands, the results indicate that the eight cities of Ahvaz with an average temperature of 43.3 and the fourth region with an average temperature of 32.6 had the highest and lowest temperatures, respectively. By comparing the percentage of land use classes in the eight and four districts of Ahvaz, it can be said that industrial land use will increase the average temperature of urban areas and space land use will reduce the average temperature of urban areas. Areas with a slope of zero to 1.5 percent have an average temperature of 34 degrees and areas with a slope of 10 to 37 percent have an average temperature of 41 degrees Celsius. In urban areas with altitudes below sea level and urban areas with an altitude of 64 to 80 meters above sea level, the average temperature is 34 and 41 degrees Celsius, respectively.

**Keywords:** Urban Morphology, Thermal Islands, Geographic Information System (GIS), Remote Sensing (RS), Ahvaz.

**Citation:** Azimi, E; Akbari, R.; Armin, M. (2023), Explaining the Relationship between Thermal Islands and a Number of Morphological Factors of the City Using Remote Sensing and GIS (Case Study: Ahvaz), Journal of Geography and Environmental Studies, 11 (44), 42-57. Dor: 20.1001.1.20087845.1401.11.44.3.6

### **Copyrights:**

Copyright for this article is retained by the author (s), with publication rights granted to Journal of Geography and Environmental Studies. This is an open – access article distributed under the terms of the Creative Commons Attribution License (<http://creativecommons.org/licenses/by/4.0>), which permits unrestricted use, distribution and reproduction in any medium, provided the original work is properly cited.



# تبیین رابطه جزایر حرارتی شهری و تعدادی از عوامل مورفولوژی شهر با استفاده از سنجش از دور و سامانه اطلاعات جغرافیایی (مطالعه موردی: شهر اهواز)

الله عظیمی

دانش آموخته کارشناسی ارشد برنامه ریزی شهری، دانشگاه یزد، یزد، ایران.

رضا اکبری

گروه شهرسازی، دانشکده هنر و معماری، دانشگاه یزد، یزد، ایران.

محسن آرمین\*

استادیار، گروه مهندسی منابع طبیعی - آبخیزداری، دانشکده کشاورزی و منابع طبیعی، دانشگاه یاسوج، یاسوج، ایران

## چکیده

جزیره‌ی حرارتی شهری (UHI)، بیانگر نقش انسان در تغییر محیط زیست است که ممکن است وضعیتی شدید و غیرقابل برگشت از تغییرات اقلیمی و محیطی برای شهروندان ایجاد کند. هدف از این پژوهش بررسی رابطه جزایر حرارتی شهری و عوامل مورفولوژی شهری شامل کاربری اراضی، شب و ارتفاع از سطح دریا با استفاده از سنجش از دور و سامانه اطلاعات جغرافیایی در شهر اهواز است. برای این منظور نقشه کاربری اراضی به روش حداکثر احتمال در مناطق ۸ گانه شهر اهواز و نقشه‌های ارتفاع از سطح دریا و شب در محیط نرم افزار Arc Map تهیه شد. برای ارزیابی صحت طبقه‌بندی نقشه کاربری اراضی، خطای تصویر طبقه‌بندی شده با یک تصویر مرجع حاوی تعدادی نقاط کنترل زمینی مقایسه گردید. نقشه دمای سطح زمین با استفاده از الگوریتم پنجره مجزا روی مجموعه داده‌های ماهواره لندست ۸ در محیط نرم افزار ENVI تهیه شد. نتایج نشان داد که نقشه کاربری اراضی تهیه شده دارای ضریب کاپای ۸۶ درصد و صحت و اعتباری مطلوب می‌باشد. در بخش تحلیل رابطه بین کاربری اراضی و جزایر حرارتی، نتایج حاکی از آن است که منطقه هشت شهر اهواز با میانگین دمای  $۴۳/۳$  و منطقه چهار با میانگین دمای  $۳۲/۶$  به ترتیب بیشترین و کمترین دما را به خود اختصاص دادند. با مقایسه درصد طبقات کاربری در مناطق هشت و چهار شهر اهواز می‌توان گفت که کاربری صنعتی باعث افزایش میانگین دمای مناطق شهری و کاربری فضای سبز باعث کاهش میانگین دمای مناطق شهری خواهد شد. مناطق با شب صفر تا  $۱/۵$  درصد دارای میانگین دمای  $۳۴$  درجه و مناطق با شب  $۱۰$  تا  $۳۷$  درصد دارای میانگین دمای  $۴۱$  درجه سانتی گراد هستند. در مناطق شهری دارای ارتفاع پایین تر از سطح دریا و مناطق شهری با ارتفاع دریا میانگین دمای  $۴۱$  درجه سانتی گراد است. با توجه به تغییرات کم شب و ارتفاع از سطح دریا در شهر اهواز و اینکه بخش زیادی از شهر در مناطق مسطح و کم ارتفاع قرار دارد، می‌توان گفت وجود صنایع حرارتزا می‌تواند عامل اصلی افزایش دمای سطحی شهر اهواز باشد که به عنوان یک راهکار در راستای برنامه‌ریزی شهری باید صنایع مذکور به مرور زمان به خارج از شهر منتقل شوند.

**کلمات کلیدی:** مورفولوژی شهری، جزایر حرارتی، سامانه اطلاعات جغرافیایی (GIS)، سنجش از دور (RS)، اهواز.

تاریخ ارسال: ۱۴۰۱/۰۳/۰۳

تاریخ بازنگری: ۱۴۰۱/۰۴/۱۶

تاریخ پذیرش: ۱۴۰۱/۰۵/۱۹

**نویسنده مسئول:** محسن آرمین، استادیار، گروه مهندسی منابع طبیعی - آبخیزداری، دانشکده کشاورزی و منابع طبیعی، دانشگاه یاسوج.

Mohsenarmin2007@gmail.com

با توسعه شهرنشینی مقادیر زیادی از مساحت مناطق کشاورزی و جنگلی جای خود را به مناطق شهری، صنعتی و دیگر زیرساخت‌ها داده‌اند. افزایش جمعیت، افزایش آلودگی ناشی از صنایع و افزایش ترد اتمیل‌ها موجب افزایش دمای برخی مناطق شهری نسبت به دیگر مناطق می‌گردد، بنابراین در مناطق شهری بسته به پوشش زمین، مناطقی با درجه حرارت بیشتر از سایر نواحی به وجود می‌آید که این پدیده به نام جزیره حرارتی شهری<sup>۱</sup> (UHI) نام‌گذاری شده است (عقیلی‌نسب و همکاران، ۱۳۹۲: ۸۵). بررسی وضعیت پراکندگی تابش‌های حرارتی و ارتباط آن با نوع کاربری‌های موجود در نواحی شهری دارای اهمیت زیادی می‌باشد. جزایر حرارتی شهری جزو آن دسته از مناطق شهری هستند که به میزان قابل توجهی از محیط پیرامون گرم‌تر باشند که بر این مبنای سه نوع جزیره حرارتی در قالب جزیره حرارتی لایه مرزی شهر<sup>۲</sup> (درجه حرارت اتمسفر بالای شهر نسبت به نقاط اطراف)، جزیره حرارتی تاج شهر<sup>۳</sup> (درجه حرارت بخشی از اتمسفر شهر در فاصله زمین تا بام ساختمان‌ها) و جزیره حرارتی سطح شهری<sup>۴</sup> (اختلاف دمای سطح زمین بین شهر و روستا) قابل شناسایی است (ترکاشوند، ۱۳۹۵: ۱۲۵). گرم شدن سطح زمین و جزایر حرارتی نمونه‌ای از تغییرات اقلیمی ناخواسته متأثر از تغییرات سطح و اتمسفر زمین ناشی از فرآیند شهرنشینی می‌باشد ( فلاخ زاده، ۱۳۸۸: ۱۵). ارتباط بین مورفولوژی شهری و دما از دهه چهارم آخر قرن بیستم مورد مطالعه قرار گرفته است. با وجود درجه عدم قطعیت پارامترهای اقلیمی، تجزیه و تحلیل مقایسه‌ای می‌تواند از وابستگی متقابل بین مورفولوژی شهری و الگوهای مکانی حرارتی مناطق شهری پرده‌برداری کند. بسته به نوع مورفولوژی شهر که به صورت ارگانیک، شترنجی، شعاعی و ستاره‌ای است، میزان جزایر حرارتی متفاوت می‌باشد. در مورد جزیره حرارتی سطح زمین، خصوصیات سطح و پوشش اراضی عناصر مهمی هستند زیرا جنبه‌هایی از جمله آلبیدو یا رطوبت را تعیین می‌کنند. مقایسه دمای سطح اراضی با خصوصیات مکانی مانند تراکم یا پوشش سطح زمین، همبستگی بین مورفولوژی شهری و جزیره شهری را تأیید می‌کنند. چهار عامل مهم در اقلیم و آب‌وهوای شهری ساختار شهری (بعاد ساختمان‌ها و فضاهای بین آن‌ها، عرض خیابان و فاصله)، پوشش شهری (کسری از سطوح ساخته شده، آسفالت، پوشش گیاهی، خاک و آب)، بافت شهری (ساخت‌وساز و مواد طبیعی) و متابولیسم شهری (گرما، آب و آلاینده‌ها به دلیل فعالیت انسانی) است. این چهار عامل کنترل، همه مربوط به مورفولوژی شهری است و نقش مهمی در ایجاد محیط‌های اقلیمی شهری خاص دارند (اوکی، ۱۹۹۸: ۶۴). رابطه نزدیکی بین برنامه‌ریزی شهری، مورفولوژی شهری و آب‌وهوای شهری وجود دارد. متغیرهای سلامتی ساکنین، آسایش، زندگی اجتماعی و مصرف انرژی و شاخص‌های آب‌وهوایی مانند تابش خورشیدی، دمای هوای باد جنبه‌های اساسی مؤلفه‌های عملکردی و روان‌شناختی یک محل زندگی در شهر است. به طور مشابه، برنامه‌ریزی شهری، مورفولوژی شهری را تحت تأثیر قرار می‌دهد و با تأثیرگذاری بر شیوه‌های زندگی بر اوضاع شهری تأثیر می‌گذارد (معروف‌نژاد، ۱۳۹۰: ۲۷). در طول دو دهه اخیر نیاز فراوان به اطلاعات دمای سطح زمین، سنجش از دور را به یکی از موضوعات مهم علمی تبدیل کرده است (سورینو<sup>۵</sup> و دیگران، ۲۰۰۴: ۴۳۴). تکنولوژی سنجش از دور مادون قرمز حرارتی یکی از ابزارهای مهم برای مطالعه ویژگی‌های حرارتی سطح زمین است. با توجه به محدودیت‌های اطلاعاتی در تأمین داده‌ها به ویژه در وسعت زیاد و غیرممکن بودن دست‌یابی به آن‌ها در زمان واقعی، استفاده از فناوری سنجش از دور با شرایط زمانی مورد اشاره همراه با ویژگی پیوستگی و داده‌برداری در محدوده‌های گسترده، می‌تواند بسیار کارآمد باشد (جلیلی<sup>۶</sup> و دیگران، ۲۰۰۸: ۱۴۰).

<sup>1</sup> Urban Heat Island<sup>2</sup> Urban Boundary Layer Heat Island<sup>3</sup> Canopy Boundary Layer Heat Island<sup>4</sup> Surface Heat Island<sup>5</sup> Oke<sup>6</sup> Sobrino<sup>7</sup> Jalili

احمدی و همکاران (۱۳۹۵) تحولات کالبدی شهر اصفهان و بازتاب حرارتی آن را بررسی کردند. نتایج یکی از مهمترین عوامل مؤثر بر دمای هوا را سایه‌اندازی‌ها و ضریب آسمان قابل رویت بر پایه محصوریت کالبدی و فضای سبز معرفی می‌نماید. علیجانی و همکاران (۱۳۹۶) بر اساس هندسه شهری محله کوچه باغ شهر تبریز، شدت جزیره حرارتی را با استفاده از معادله عددی - نظری اوکی<sup>۱</sup> محاسبه کردند. هندسه محله با توجه به شعاع ۱۵ متری از محور معابر به بلوک‌هایی مجزایی تقسیم‌بندی شد. سپس نسبت عرض معابر و ارتفاع بنایا در محیط سامانه اطلاعات جغرافیایی محاسبه و بر اساس معادله اوکی شدت جزیره حرارتی شهری حداکثر محاسبه و شبیه‌سازی شد. نتایج نشان داد که در محله کوچه باغ تبریز هرچه بنایا بلندمرتبه‌تر و عرض معابر کمتر باشد، میزان شدت جزیره حرارتی بیشتر و هر قدر عکس این شرایط حاکم باشد، مقدار شدت جزیره حرارتی نیز کمتر خواهد بود.

دلبسته و همکاران (۱۳۹۷) تغییرات فضایی دمای سطحی کلان شهر مشهد را ارزیابی کردند. مدل الگوی فضایی دمای سطحی شهر مشهد در طول سال، افزایش دمای سطحی از مرکز به حاشیه شهر در زمان گذر ماهواره است به طوری که مناطق مرکزی و قدیمی شهر دمای سطحی پایین‌تری نسبت به حومه شهر دارند. کاربری‌های حمل و نقل شهری، زمین بایر و ارتفاعات در طول سال حداکثر دمای سطحی و حداقل دما در کاربری تفریحی و گردشگری، کشاورزی و باغ‌ها به خصوص در ماه‌های گرم وجود دارد. عزیزمند و همکاران (۱۳۹۹) اثرهای ویژگی‌های کالبدی و مورفولوژیکی مناطق مسکونی بر تغییرات دمای سطح زمین در مناطق خشک را با استفاده از تصاویر سنجنده TM ماهواره لندست ۵ تجزیه و تحلیل کردند. نتایج نشان داد که بین ویژگی‌های مورفولوژی شهری یا ریزدانگی نیز همبستگی بالا و منفی با دمای سطح زمین مشاهده شده است. نتایج ضریب همبستگی پیرسون بین پوشش‌های سطحی و ویژگی‌های پیکربندی و مورفولوژی با دمای سطح زمین به طور کامل معنی‌دار بوده‌اند. حمل و نقل درون‌شهری، گسترش افسارگسیخته بافت شهری، شرایط اقلیمی، محیط‌زیستی و بحث ریزگردها، از بین رفتن پوشش گیاهی، تبدیل شدن زمین‌های کشاورزی به دیگر کاربری‌های از جمله کاربری‌های تجاری صنعتی و مسکونی و طرح‌های انتقال آب رودخانه کارون و دیگر رودخانه‌های استان به شهرهای اطراف از جمله شهر اصفهان، می‌تواند باعث افزایش درجه حرارت در شهر اهواز نسبت به محیط اطراف آن شود که این گرمانه تنها باعث افزایش مصرف انرژی برای خنک کردن ساختمان‌ها و افزایش سرانه بار مالی به ویژه در ماه‌های گرم سال می‌شود، بلکه همچنین باعث ایجاد آلودگی در جو از جمله تولید گاز منواکسید کربن و ازن و افزایش ترکیبات زیان‌بار کربنی، گوگردی و دیگر آلاینده‌های آسیب‌رسان در سطح زمین می‌شود (جوکار، ۱۳۹۰: ۱۸۰).

با توجه به دلایل ذکر شده در بالا، ضرورت شناخت محیط جزایر حرارتی شهر اهواز، تبیین مورفولوژی شهر و رابطه بین ویژگی‌های مورفولوژی شهر که باعث افزایش و یا کاهش پدیده جزیره حرارتی می‌شود، از اهمیت بالایی برخوردار است. لذا هدف از این پژوهش بررسی رابطه بین برخی از عوامل مورفولوژی شهری با جزایر حرارتی می‌باشد.

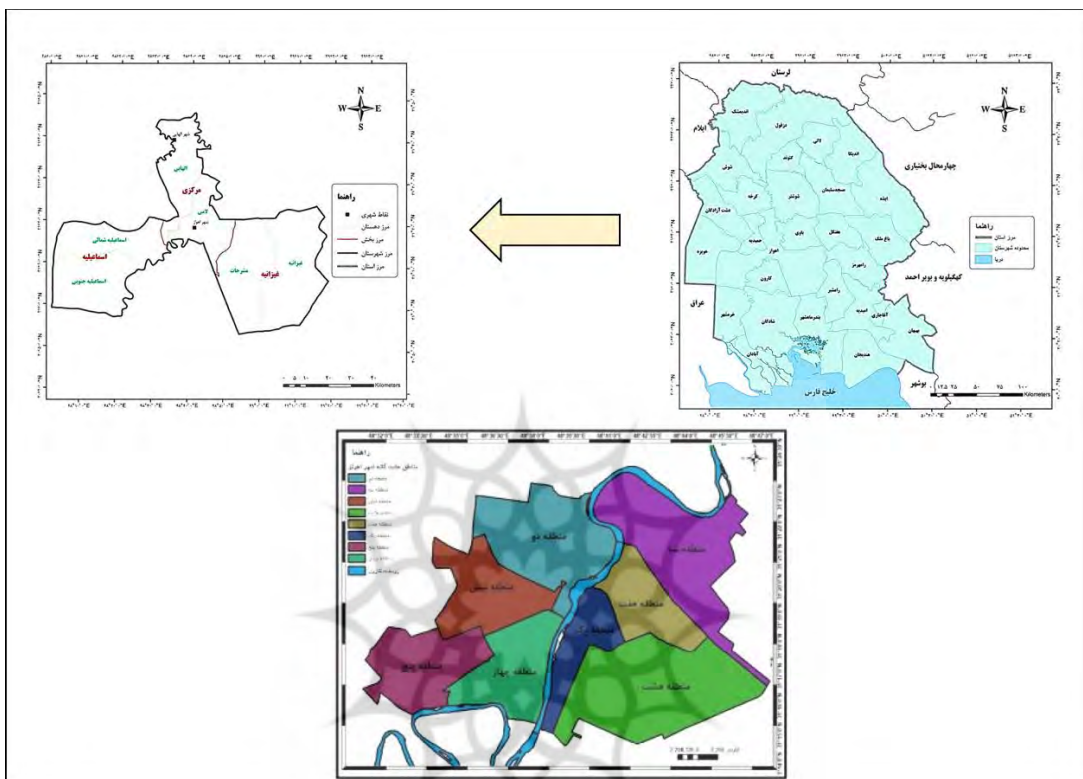
## داده‌ها و روش‌ها

### معرفی منطقه مورد مطالعه

شهر اهواز، محور ترابری بسیار مهمی است که به وسیله راه‌های زمینی و ریلی و هوایی سایر نقاط کشور را به بنادر مهم آبادان، خرمشهر، بندر امام خمینی و ماشهر پیوند می‌دهد. همچنین با وجود پایانه و بازارچه‌های مرزی شلمچه و چزابه در نزدیکی اهواز، این شهر به طور مستقیم متأثر از ترافیک کالا و مسافر و مسافران سیاحتی و زیارتی ایرانی و عراقی است. شهر اهواز به عنوان یکی از شهرهای بزرگ ایران و مرکز شهرستان اهواز و استان خوزستان از نظر جغرافیایی در ۳۱ درجه و ۲۰ دقیقه عرض شمالی و ۴۸ درجه و ۴۰ دقیقه طول شرقی قرار گرفته است (جوکار، ۱۳۹۰: ۱۸۳).

<sup>1</sup> Oke

وسعت شهر اهواز در محدوده قانونی شهری ۲۲۲ کیلومتر مربع، در محدوده خدماتی ۳۰۰ کیلومتر مربع و در محدوده استحفاظی ۸۹۵ کیلومتر مربع می‌باشد (سازمان جغرافیایی نیروهای مسلح، ۱۴: ۱۳۸۸). شهر اهواز تا سال ۱۳۹۰ دارای هشت منطقه‌ی شهری بوده که هر یک سه یا چهار ناحیه را شامل می‌شد ولی در سال ۱۳۹۱، منطقه پنج آن از دیگر مناطق شهری جدا و شهر اهواز به هفت منطقه شهری تقسیم گردید. موقعیت جغرافیایی کلان‌شهر اهواز در سطح کشور ایران، استان خوزستان و شهرستان اهواز در شکل ۱ نشان داده شده است.



شکا (۱): موقعت حفره‌ای کلانشهر اهواز در سطح کشور، استان خوزستان

روش تحقیق

#### تهیه تصاویر ماهواره‌ای و پیش‌پردازش آن‌ها

لندست ۸ آخرین تصویر از سری لندست NASA است. داده‌های لندست ۸ به صورت رایگان در وب‌سایت سازمان زمین‌شناسی آمریکا<sup>۱</sup> (USGS) به تارنمای وجود دارند. در این مطالعه تصاویر لندست ۸ سنجنده‌های OLI و TIRS مربوط به ۴ آبان ۱۳۹۹ شامل سینهای با گذر ۱۶۴ و ردیف‌های ۳۸ و ۳۹ در برگیرنده منطقه مورد مطالعه برای تهیه نقشه کاربری اراضی و جزایر حرارتی مورد استفاده قرار گرفتند. با توجه به اینکه منطقه مورد مطالعه در دو ردیف ۳۸ و ۳۹ قرار گرفته، از نرم‌افزار ENVI5-3 برای لیر استیکینگ<sup>۲</sup> باندهای مورد نظر و موزاییک کردن دو تصویر استفاده شد. ابتدا نقشه مرز منطقه مورد مطالعه در محیط نرم‌افزار Arc ۱۰-۴-۱ Map تهیه و به صورت یک Shape File وارد نرم‌افزار ENVI شد. سپس نقشه پلی گونی منطقه مورد مطالعه به یک نقشه رستری تبدیل شد و نقشه رستری در تصویر موزاییک شده ضرب شد که حاصل آن تصویر ماهواره‌ای منطقه مورد مطالعه در ۴ آبان ۱۳۹۹ است.

<sup>1</sup> <https://earthexplorer.usgs.gov>

## <sup>2</sup> Layer Stacking

## تهیه نقشه کاربری اراضی

ابتدا به منظور تشخیص هر چه بهتر عوارض بر روی تصاویر، با استفاده از دو روش ترکیب رنگی (باندهای ۱۳۴، ۲۳۵، ۳۴۵ و ۳۵۷) تصاویر آشکارسازی شدند. پس از آشکارسازی تصاویر اقدام به طبقه‌بندی آنها با استفاده از طبقه‌بندی نظارت شده به روش حداکثر احتمال شد. طبقه‌بندی نظارت شده نیز شامل مراحل انتخاب نقاط آموزشی، تولید فایل‌های امضاء، طبقه‌بندی و ارزیابی صحت آن است. با استفاده از مشاهده‌ی میدانی از محل، تصاویر گوگل ارث<sup>۱</sup> و نقشه کاغذی کاربری اراضی، نقاط آموزشی تهیه شد. فایل‌های امضاء شامل نقاطی هستند که دارای ویژگی‌های مشترکی می‌باشند، نقاط دارای ویژگی مشترک با روش حداکثر درست نمایی<sup>۲</sup> انتخاب شد و نام یک کلاس<sup>۳</sup> را بر آن قرار داده شد. در طبقه‌بندی، نقاط دارای ویژگی مشترک به عنوان یک طبقه شناخته می‌شوند. برای ارزیابی صحت طبقه‌بندی یا بررسی خطای طبقه‌بندی لازم است که تصویر طبقه‌بندی شده با یک تصویر مرجع حاوی تعدادی نقاط کنترل زمینی مقایسه شود. برای انجام این کار نقاط شاهد با استفاده از مشاهدات صحرایی و نرم‌افزار برای هر کدام از طبقات کاربری اراضی و پوشش زمین به صورت تصادفی از سطح منطقه تهیه شد (سعی شده نقاط از مناطق همگن برداشت شود تا خطای انسانی سهم ناچیزی در برآورد صحت داشته باشد) و پس از پیاده‌سازی نمونه‌های کنترلی بر سطح تصویر، ماتریس خطای طبقه‌بندی استخراج شد. در این ماتریس مشخصات آماری شامل درستی تولید کننده، درستی مصرف کننده و شاخص کاپا برای هر کدام از طبقات کاربری و پوشش زمین نمایش داده می‌شود.

## تهیه نقشه شیب

برای تهیه نقشه شیب از نقشه مدل رقومی ارتفاع (DEM) با مقیاس ۱:۵۰۰۰۰ شهر اهواز استفاده شده و نقشه شیب در پنج کلاس بدون شیب (سطح)، ۰ تا ۵، ۵ تا ۸، ۸ تا ۱۰ و ۱۰ تا ۳۷ (درجه) تهیه شد.

## تهیه نقشه ارتفاع از سطح دریا

نقشه ارتفاع از سطح دریا در چهار کلاس بدون ارتفاع (ارتفاع منفي)، صفر تا ۳۰، ۳۰ تا ۶۰ و ۶۰ تا ۸۴ متر از سطح دریا تهیه گردید.

## تهیه نقشه دمای سطح زمین با استفاده از الگوریتم پنجره مجزا

سنجدنه‌های TIRS (حرارتی) لندهای ۸ داده‌های درجه حرارت را دریافت کرده و این اطلاعات را به صورت ارزش رقومی (DN) در یک دامنه صفر و ۲۵۵ ذخیره می‌کنند. دمای سطح با استفاده از رادیانس حرارتی تصحیح شده به دست می‌آید. برای محاسبه رادیانس حرارتی تصحیح شده نیاز به گسیل‌مندی در باند حرارتی می‌باشد. برای محاسبه گسیل‌مندی در باند حرارتی به ترتیب نیاز به محاسبه رادیانس طیفی ( $L_{\gamma}$ )، بازتابندگی در هر باند ( $P_{\gamma}$ ) و آلیدوی سطحی می‌باشد. دستورالعمل تفصیلی گام به گام زیر برای محاسبه جزایر حرارتی (LST) مورد استفاده قرار گرفته است:

گام یک- رادیانس طیفی لایه بالای اتمسفر از باندهای ۱۰ و ۱۱ سنجدنه TIRS و باندهای ۲ تا ۵ سنجدنه OLI با استفاده از رابطه (۱) برآورد می‌شود. این الگوریتم ارزش رقومی تصویر خام را به رادیانس طیفی تبدیل می‌کند.

$$L_{\gamma} = M_L Q_{cal} + A_L \quad \text{رابطه ۱}$$

$L_{\gamma}$ : رادیانس طیفی لایه بالای اتمسفر ( $\mu\text{m}^{-1}\text{Sr}^{-1}\text{WM}^{-2}$ ),  $M_L$ : عامل مقیاس‌سازی ضربی باند خاص (RADIANCE\_MULTI\_BAND\_X, Where X is the band number 10 or 11)  $A_L$ : عامل مقیاس‌سازی جمعی باند خاص (RADIANCE\_ADD\_BAND\_X, Where X is the band number 10 or 11).  $Q_{cal}$ : ارزش رقومی باند خاص (DN).

مقادیر  $M_L$  و  $A_L$  از فایل مرجع تصویر استخراج شده‌اند. بنابراین  $L_{\gamma}$  برای منطقه مورد مطالعه به صورت زیر است:

<sup>1</sup> Google Earth

<sup>2</sup> Maximum Accuracy

<sup>3</sup> Class

$$L_\gamma = 3.342 \times 10^{-4} \times Q_{cal} + 0.1$$

گام دوم - با استفاده از ثابت‌های حرارتی ارائه شده در فایل مرجع تصویر رادیانس طیفی به دمای روشنایی (BT) تبدیل می‌شود. دمای روشنایی تشعشع الکترومغناطیسی انتقالی رو به بالا از لایه بالای اتمسفر زمین است. فرایند تبدیل حرارتی با تبدیل مقادیر ارزش رقومی باندهای حرارتی خام سنجنده TIRS به رادیانس طیفی لایه بالای اتمسفر انجام می‌شود و سپس با استفاده از رابطه ۲ (رابطه پلانک) دمای روشنایی محاسبه می‌شود. در واقع در این مرحله واریانس طیفی به دمای جسم سیاه در سطح سنجنده تبدیل می‌شود.

$$BT = \frac{K_2}{\ln(\frac{K_1}{L_\gamma} + 1)} \quad \text{رابطه ۲}$$

که  $BT$  دمای روشنایی ماهواره بر حسب کلوین،  $K_1$  ثابت حرارتی اول (تبدیل حرارتی باند خاص از فایل مرجع تصویر ( $K_1$ -Constant\_Band\_X, Where X is the band number 10 or 11) معادل  $774.89$ ) ثابت حرارتی دوم (تبدیل حرارتی باند خاص از فایل مرجع تصویر ( $K_2$ -Constant\_Band\_X, Where X is the band number 10 or 11) معادل  $1321.08$ ) برای منطقه مورد مطالعه به رادیانس طیفی لایه بالای اتمسفر بر حسب  $(WM^{-2}Sr^{-1}\mu m^{-1})$  است. بر اساس رابطه (۲)،  $BT$  برای منطقه مورد مطالعه به صورت زیر است:

$$BT = 1321.08 / \ln(774.89/Band10Radiance + 1) - 273$$

گام سوم - با استفاده از رابطه (۳) شاخص پوشش گیاهی تفاضلی نرمال شده (NDVI) با استفاده از باندهای نوری سنجنده OLI برآورد می‌شود.

$$NDVI = \frac{NIR - RED}{NIR + RED} \quad \text{رابطه ۳}$$

گام چهارم - گسیلندهای سطح زمین (LSE) با استفاده از رابطه (۴) برآورد می‌شود. نسبت بین گسیلش از یک شیء به گسیلش از جسمی سیاه در دمای ثابت را گسیلمندی می‌گویند. گسیلندهای سطح زمین معیاری از ویژگی‌های ذاتی سطح خاک و توانایی آن برای تبدیل انرژی حرارتی یا گرمایی به انرژی تشعشعی است. مقدار گسیلمندی برای تبدیل دمای روشنایی به دمای جنبشی سطح مورد نیاز است، چرا که دمای روشنایی به دست آمده از رابطه (۲) دمایی است که جسم سیاه به منظور تولید رادیانس معلوم در طول موج معلوم (۱۱/۵) دارد. یکی از روش‌های مؤثر برای تخمین گسیلمندی سطح زمین، مدل ترکیبی درصد پوشش زمین است، با این فرض که خاک لخت و پوشش گیاهی مقدار گسیلمندی مشخصی دارند (Shakiba et al., 2009:57).

$$\epsilon = mFVC + n \quad \text{رابطه ۴}$$

که در آن  $FVC$  پوشش گیاهی سبز جزء به جزء و  $\epsilon$  گسیلمندی است. مقادیر  $m$  و  $n$  از رابطه (۵) قابل محاسبه‌اند.

$$m = \epsilon_v - \epsilon_s - (1 - \epsilon_s)F\epsilon_v \quad \text{رابطه ۵}$$

$$n = \epsilon_s + (1 - \epsilon_s)F\epsilon_v$$

$\epsilon$ ، گسیلمندی خاک و  $\epsilon_v$ ، گسیلمندی پوشش گیاهی است. برای گسیلمندی پوشش گیاهی مقدار  $0.99$  ولی با توجه به تنوع بالای گسیلمندی خاک در مقایسه با پوشش گیاهی مقدار  $0.97$  برای خاک در نظر گرفته شد (Sobrino et al, 2004:436).

ضریب شکل که مقدار میانگین آن  $0.55$  است. با توجه به رابطه (۵) گسیلمندی منطقه مورد مطالعه به صورت زیر است:

$$\epsilon = 0.004 FVC + 0.986$$

گام پنجم - دمای سطح زمین با استفاده از رابطه (۶) برآورد شد (Artis & Carnahan, 1982:36).

$$LST = \frac{BT}{1 + W(\frac{BT}{\rho} * \ln \epsilon)} - 273 \quad \text{رابطه ۶}$$

که در آن  $LST$  دمای سطح زمین بر حسب درجه سانتی گراد،  $W$  طول موج رادیانس بر حسب متر ( $11.5 \times 10^{-6}$ )،  $\rho$  ضریب ثابت که از رابطه  $\rho = \frac{hc}{k}$  بدست می‌آید که  $h$  ثابت پلانک ( $6.62 \times 10^{-34} \text{ J.sec}$ )،  $c$  سرعت نور ( $3 \times 10^8 \text{ m/sec}$ )،  $k$  ثابت استفان-بولتز (Boltzmann) ( $1.38 \times 10^{-23} \text{ J/K}$ ) و  $\epsilon$  گسیلمندی است.

### بررسی رابطه پارامترهای مورفولوژی شهری و جزایر حرارتی شهری

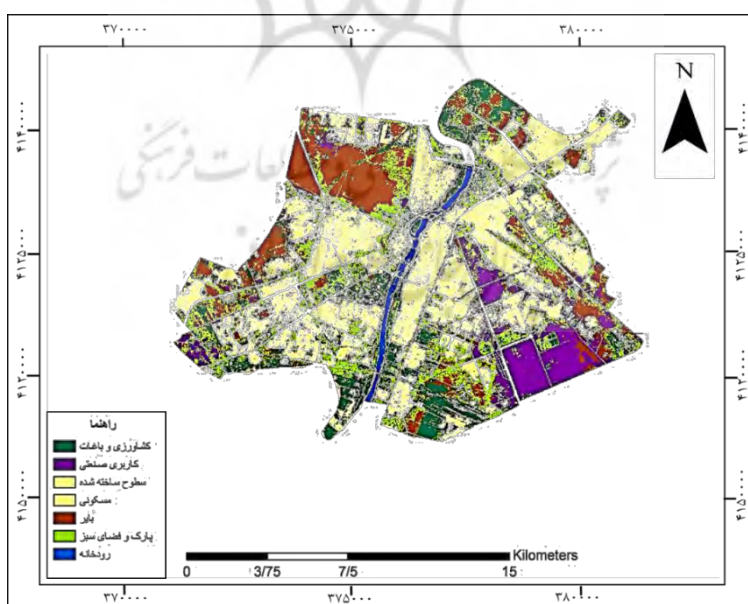
برای تبیین رابطه بین مورفولوژی شهری و جزایر حرارتی شهری، بررسی‌های زیر صورت گرفت:

- محاسبه حداقل، میانگین و حداکثر دمای سطح زمین در هر یک از مناطق هفت گانه شهر اهواز
  - ترسیم نیمرخ حرارتی شهر اهواز در دو جهت شمالی - جنوبی و شرقی - غربی
  - محاسبه مساحت طبقات کاربری مختلف در مناطق هشت گانه شهر اهواز
  - محاسبه میانگین دما در طبقات مختلف کاربری اراضی
  - محاسبه میانگین دما در طبقات مختلف شب
  - محاسبه میانگین دما در طبقات مختلف ارتفاع از سطح دریا
  - مقایسه مناطق هشت گانه شهر اهواز از نظر ویژگی‌های مؤثر در ایجاد جزایر حرارتی
- .....

### یافته‌ها و بحث

#### نقشه کاربری اراضی

در شکل ۲ نقشه کاربری اراضی شهر اهواز به روش الگوریتم حداقل احتمال در ۴ آبان ۱۳۹۹ داده شده است. مساحت و درصد اختصاص یافته به هر کدام از طبقات کاربری اراضی موجود در شهر اهواز در جدول ۱ ارائه شده است.



شکل (۲): نقشه کاربری اراضی شهر اهواز

## تبیین رابطه جزایر حرارتی شهری و تعدادی از عوامل مورفوژئی شهر با استفاده از ... / الهه عظیمی و همکاران

جدول (۱): مساحت به هکتار و درصد اختصاص یافته به طبقات مختلف کاربری اراضی در شهر اهواز

مناطق	مساحت کاربری صنعتی	درصد کاربری صنعتی	مساحت کاربری مسکونی	درصد کاربری مسکونی	مساحت سطوح ساخته شده	درصد سطوح ساخته شده	مساحت پارک و فضای سبز	درصد پارک و فضای سبز	مساحت کشاورزی و باغات	درصد کشاورزی و باغات	مساحت اراضی بایر	درصد اراضی بایر
منطقه ۱	۱۴/۷۸	۱/۹۸	۲۳۶	۱۲/۴۱	۱۵۱/۵۰	۳۹/۱	۴۴/۲۱	۵/۹۲	۴۹/۴۵	۶/۶۲	۳۰/۶۰	۴/۵
منطقه ۲	۴۵/۸	۸/۸۲	۲۳/۰۶	۵/۲۵	۲۱۱/۷۷	۱۲/۵۲	۳۴/۸۸	۱/۳۹	۰/۴۵	۰/۰۲	۱۵/۲۳	۵۵/۴
منطقه ۳	۴۹/۳۲	۱/۴۳	۲۸/۲۳	۹/۰۷	۴۶۳/۲۴	۱۵/۲۱	۴۴۱/۶۹	۱۶/۵۶	۱۲۰/۶۷	۴/۵۲	۵۸/۱۲	۲۲/۵
منطقه ۴	۲۰۳/۸۳	۶/۷۱	۲۶/۵۸	۱۰/۱۶	۵۴۸/۲۳	۱۵/۲۳	۷۴/۲۹	۱۲/۱۶	۴۰۶/۲۱	۱۱/۸۱	۳/۱۹	۱۷/۲
منطقه ۶	۲۰۳/۰۶	۷/۷۵	۱۸/۱۲	۷/۳۳	۳۷۹/۲۳	۱۱/۱۰	۱۲/۱۳	۰/۴	۱۹/۷۳	۰/۶۶	۱۹/۸۷	۶۰/۵
منطقه ۷	۱۷۳/۳	۱۱/۷۲	۱۴/۹۷	۱۴/۹	۲۵۰/۳۱	۱۸/۱۲	۴۷/۳۹	۳/۲۰	۰	۰	۱۵/۴۸	۳۶/۲
منطقه ۸	۷۲۸/۹	۲۹/۹	۱/۳۷	۶/۹۲	۳۲۱/۱۹	۱۰/۱۴	۱۲۷/۰۲	۵/۲۱	۱۲/۵۷	۰/۵۱	۶۹/۷۹	۲/۳

با توجه به جدول ۱، کاربری صنعتی در منطقه هشت بیشترین درصد به میزان ۲۹/۹ و در منطقه سه کمترین درصد به میزان ۱/۴۳ را به خود اختصاص داده است. کاربری مسکونی در منطقه یک بیشترین درصد به میزان ۱۲/۴۱ و در منطقه ۲ کمترین درصد به میزان ۵/۲۵ را به خود اختصاص داده است. سطوح ساخته شده در منطقه یک بیشترین درصد به میزان ۳۹/۱ و در منطقه هشت کمترین درصد به میزان ۱۰/۱۴ را به خود اختصاص داده است. کاربری پارک و فضای سبز در منطقه سه بیشترین درصد به میزان ۱۶/۵۶ و در منطقه شش کمترین درصد به میزان ۰/۰۴ را به خود اختصاص داده است. کاربری باغات و کشاورزی در منطقه چهار بیشترین درصد به میزان ۱۱/۸۱ و در منطقه هفت کمترین درصد به میزان صفر را به خود اختصاص داده است. اراضی بایر در منطقه شش بیشترین درصد را به میزان ۶۰/۵ و در منطقه هشت کمترین درصد را به میزان ۲/۳ به خود اختصاص داده است. در جدول ۲ ارزیابی صحت طبقه‌بندی نقشه کاربری اراضی منطقه مورد مطالعه ارائه شده است.

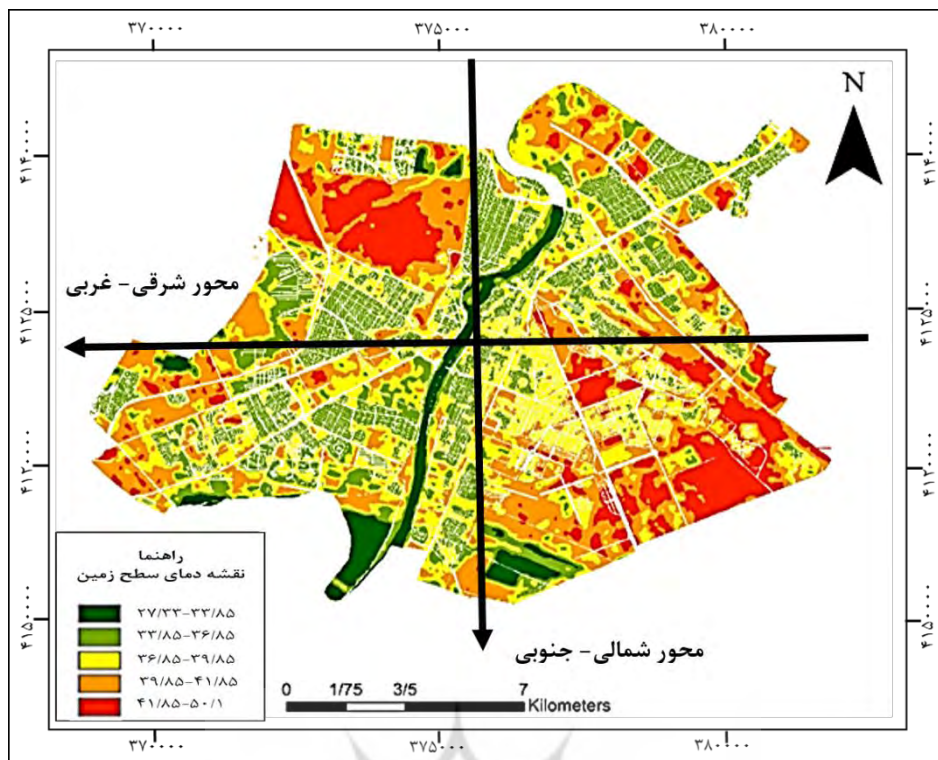
جدول (۲): ارزیابی صحت سنجی نقشه کاربری اراضی

ضریب کاپا	درستی تولید کننده	درستی مصرف کننده	طبقات کاربری	سال
۰/۸۶	۰/۹۲	۰/۹۰	کشاورزی و باغات	۲۰۲۰
	.۹۰	۰/۸۹	کاربری صنعتی	
	۰/۷۰	۰/۷۸	سطوح ساخته شده	
	۰/۸۰	۰/۸۷	کاربری مسکونی	
	۰/۷۸	۰/۷۰	باير	
	۰/۹۰	۰/۹۰	پارک و فضای سبز	
	۱	۱	رودانه	

بر اساس جدول ۲، نقشه کاربری اراضی دارای صحت و اعتباری با ضریب کاپای ۸۶ درصد می‌باشد.

## نقشه دمای سطح زمین شهر اهواز

در شکل ۳ نقشه دمای سطحی شهر اهواز بر حسب درجه سلسیوس نشان داده شده است.



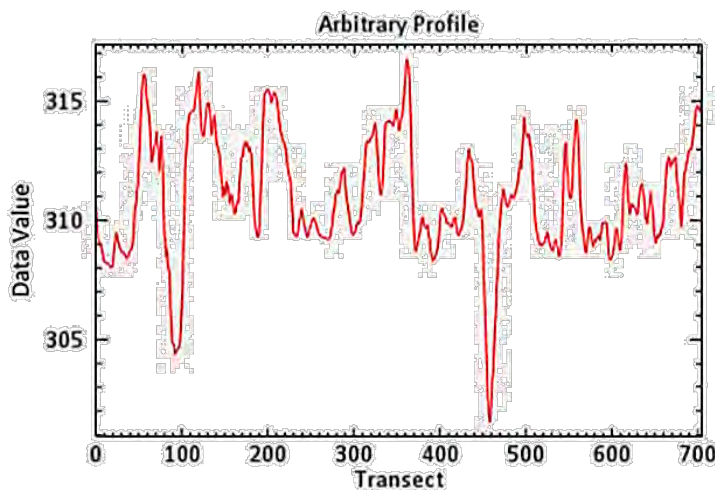
شکل (۳): نقشه دمای سطح زمین شهر اهواز (درجه سلسیوس)

نقشه دمای سطح زمین شهر اهواز نشان داده شده در شکل ۳ مربوط به تاریخ ۴ آبان ۱۳۹۹ می‌باشد. در این نقشه نقاط قرمز رنگ حاکی از بالاترین میزان درجه حرارت و نقاط سبز رنگ کمترین میزان درجه حرارت را نشان می‌دهند. رودخانه کارون به عنوان عنصری شاخص در شهر اهواز است که داری کمترین دما نسبت به نقاط اطراف می‌باشد که در نقشه کاربری اراضی با رنگ آبی و نقشه دمای سطحی با رنگ سبز نشان داده شده است. در جدول ۳ بیشترین و کمترین دمای مناطق هفت گانه شهر اهواز نشان داده شده است.

جدول (۳): بیشترین و کمترین دمای مناطق هفت گانه شهر اهواز

مناطق	مساحت مناطق (هکتار)	کمترین درجه حرارت	بیشترین درجه حرارت	میانگین دمای مناطق (سلسیوس)
منطقه ۱	۱۱۲۰/۴۴	۳۷	۴۲	۳۴/۷
منطقه ۲	۳۳۰۲/۳۴	۳۱	۴۳	۳۵/۵
منطقه ۳	۳۸۴۶/۵۶	۳۴	۴۴	۳۴/۶
منطقه ۴	۲۰۵۲/۷۰	۲۸	۴۲	۳۲/۶
منطقه ۶	۲۲۴۰/۴۲	۳۱	۴۳	۳۵/۳
منطقه ۷	۱۷۲۵/۷۲	۳۷	۴۴	۳۵/۳
منطقه ۸	۳۸۴۷/۸۶	۳۸	۴۶	۴۳/۳

نیم رخ حرارتی شهر اهواز در دو جهت شمالی- جنوبی و شرقی- غربی به ترتیب در شکل‌های ۵ و ۶ نشان داده شده است که امتداد این نیم رخ‌ها در نقشه دمای سطح زمین در شکل ۳ نشان داده شده است.

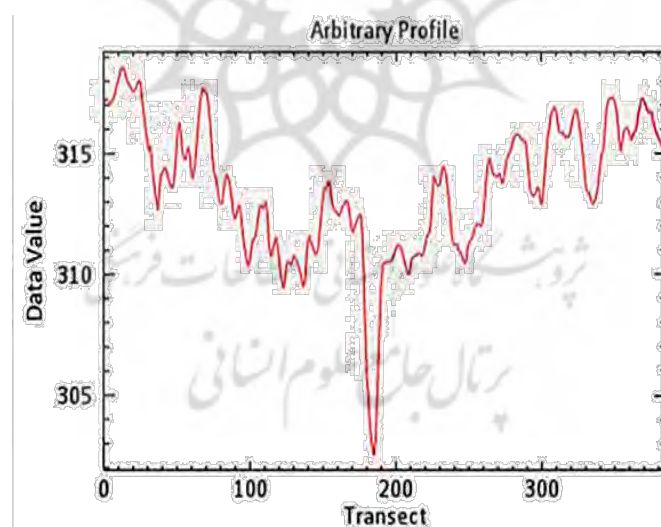


شکل (۵): نیمرخ دمایی شمالی-جنوبی شهر اهواز

در جدول ۴ تغییرات دمایی در نیمرخ شمالی-جنوبی شهر اهواز نشان داده شده است.

جدول (۴): تغییرات دمایی نیمرخ شمالی-جنوبی شهر اهواز

دما (سلسیوس)	حداقل دما	میانگین دما	حداکثر دما
نیمرخ شمالی-جنوبی	۲۹	۳۷	۴۳



شکل (۶): نیمرخ دمایی شرقی- غربی شهر اهواز

در جدول ۵ تغییرات دمایی نیمرخ شرقی- غربی شهر اهواز نشان داده شده است.

جدول (۵): تغییرات دمایی نیمرخ شرقی- غربی

دما (سانتی گراد)	حداقل دما	میانگین دما	حداکثر دما
نیمرخ شرقی- غربی	۲۶	۳۹	۴۶

## رابطه دمای سطحی شهر و کاربری اراضی

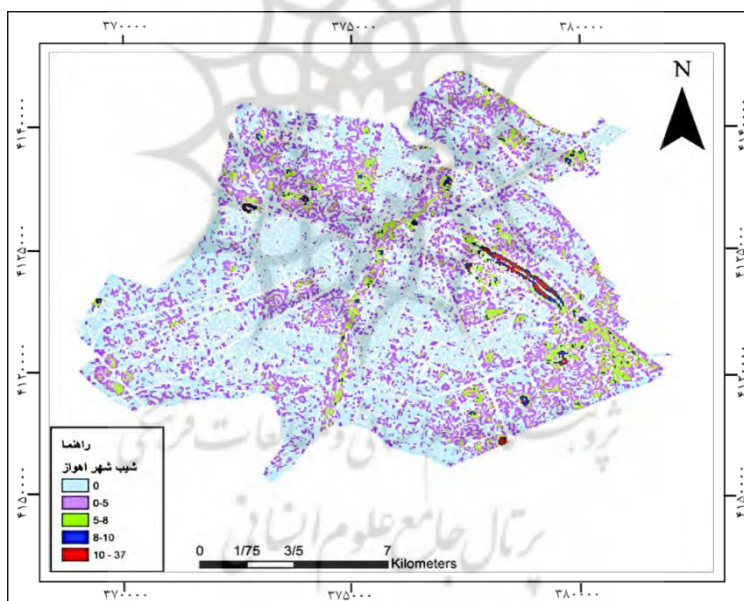
در جدول ۶ میانگین دمای طبقات مختلف کاربری در شهر اهواز نشان داده شده است.

جدول (۶): میانگین دمای طبقات مختلف کاربری‌ها در شهر اهواز

حداکثر دما	میانگین دما	حداقل دما	کاربری
۳۱/۲	۳۰/۳	۲۹/۲	پارک و فضای سبز
۳۸/۳	۳۷/۴	۳۵/۲	مسکونی
۴۱/۲	۳۹/۵	۳۶/۱	سطح ساخته شده
۲۷/۲	۲۶/۵	۲۵/۱	رودخانه
۴۳/۶	۴۰/۲	۳۷/۳	بایر
۳۴/۲	۳۲/۲	۳۰/۱	کشاورزی و باغات
۴۶/۵	۴۴/۲	۴۳/۳	صنعتی

## رابطه دمای سطحی شهر و شب زمین

نقشه طبقه‌بندی شب شهر اهواز در شکل ۷ نشان داده شده است.



شکل (۷): نقشه طبقه‌بندی شب شهر اهواز

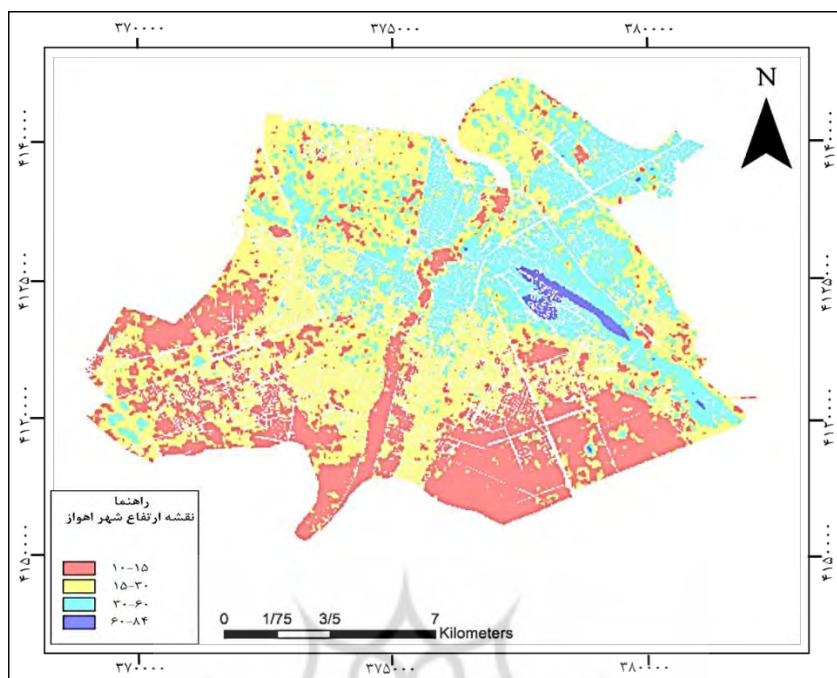
در جدول ۷، میانگین دمای طبقات مختلف شیب در شهر اهواز نشان داده شده است.

جدول (۷): میانگین دما طبقه‌بندی شب

شب (درصد)	حداکثر دما	میانگین دما	حداقل دما
.	۳۱	۳۴	۳۶
۵-۰	۳۵	۳۷	۳۸
۸-۵	۳۶	۳۹	۴۱
۱۰-۸	۳۹	۴۱	۴۳
۳۷-۱۰	۴۰	۴۳	۴۶

## رابطه دمای سطحی شهر و ارتفاع از سطح دریا

نقشه طبقه‌بندی ارتفاع از سطح دریا در شهر اهواز در شکل ۸ ارائه گردیده است.



شکل (۸): نقشه طبقه‌بندی ارتفاع به متر شهر اهواز

در جدول ۸، میانگین دمای، حداقل و حداکثر دمای طبقات ارتفاعی در شهر اهواز نشان داده شده است.

جدول (۸): میانگین دمای طبقات ارتفاعی در شهر اهواز

ارتفاع	حداقل دما	میانگین دما	حداکثر دما
۱۵-۱۰	۳۲	۳۴	۳۶
۳۰-۱۵	۳۵	۳۷	۳۸
۶۰-۳۰	۳۷	۳۹	۴۱
۸۴-۶۰	۳۹	۴۱	۴۳

## نتیجه‌گیری

نتایج این پژوهش نشان می‌دهد که دمای سطح زمین در شهر اهواز عمدهاً تحت تأثیر کاربری اراضی و پوشش زمین تغییر پیدا می‌کند. بر اساس نقشه دمای سطحی نشان داده شده در شکل ۴، می‌توان چنین گفت که در سطح شهر اهواز جزایر حرارتی وجود دارد. بر اساس نتایج جدول ۳، منطقه هشت شهر اهواز دارای بیشترین درجه حرارت به میزان  $43^{\circ}/3$  درجه سانتی گراد به تاریخ ۴ آبان ۱۳۹۹ می‌باشد که بالا بودن دما در این منطقه ناشی از وجود درصد بالای کاربری صنعتی و کمبود میزان پارک و فضای سبز و در نتیجه کمبود پوشش گیاهی می‌باشد. منطقه چهار دارای کمترین درجه حرارت به میزان  $32^{\circ}/4$  درجه سانتی گراد است که پایین

بودن درجه حرارت در این منطقه می‌تواند ناشی از وجود درصد بالای کاربری پارک و فضای سبز و باغات و اراضی کشاورزی نسبت به سایر مناطق باشد. نیمرخ دمایی شمالی-جنوبی شهر اهواز (شکل ۵) دارای نقاط عطف می‌باشد که این نقاط وجود باغات و پارک‌های درون شهر را که دمای کمتری نسبت به دیگر نقاط از جمله مناطق مسکونی، اراضی بایر و مناطق صنعتی دارند را نشان می‌دهد. تغییرات پوشش سطح زمین از جمله تغییر در نوع کاربری نقاط عطف را در نیمرخ شمالی-جنوبی مشخص می‌کند. نیمرخ دمایی شرقی-غربی شهر اهواز داری نقطه‌ی عطف مهمی می‌باشد (شکل ۶) که در این نیمرخ به وضوح قابل مشاهده است که این نقطه عطف رودخانه کارون می‌باشد. تغییرات در سطح پوشش زمین به طوری که وجود رود کارون و تغییر در سطح از عنصر آب به پوشش کاربری مسکونی و سطوح ساخته شده تغییراتی را در نیمرخ دمایی شرقی-غربی نشان می‌دهد. با توجه به جداول ۴ و ۵ تغییرات دمایی نیمرخ‌ها، تغییرات دمایی بیشتری در نیمرخ شرقی-غربی وجود دارد که این تغییرات بیشتر ناشی از وجود رودخانه کارون و تغییرات پوششی از عنصر آب به سطوح ساخته شده و کاربری مسکونی می‌باشد.

با توجه به جدول ۶، بیشترین میزان دما را کاربری صنعتی به میزان ۴۴/۲ درجه سانتی گراد به خود اختصاص داده است. عنصر آب (رودخانه کارون) در شهر اهواز نقش مهمی در کاهش دما دارد به طوری که با دمای ۲۶/۵ درجه سانتی گراد کمترین میزان درجه حرارت را دارا می‌باشد و نقش مهمی در تعديل دمای هوا در شهر اهواز دارد.

در شهر اهواز نقاط بدون شیب دارای میانگین دمای ۳۴ درجه سانتی گراد و نقاط با بیشترین شیب دارای میانگین دمای ۴۳ درجه سانتی گراد می‌باشد.

در شهر اهواز نقاط دارای ارتفاع ۱۰ تا ۱۵ متر از سطح دریا دارای میانگین دمایی ۳۴ درجه سانتی گراد و مناطق با ارتفاع بین ۶۰-۸۴ متر از سطح دریا دارای بیشترین درجه حرارت به میزان ۴۱ درجه سانتی گراد می‌باشد.

نتایج این پژوهش با نتایج پژوهش محمودزاده و همکاران (۱۳۹۷)، که به این نتیجه رسیدند که بین شاخص پوشش گیاهی و دمای سطح زمین ارتباطی وجود دارد و مشخص کردند که مناطق شهری با بیشترین دما دارای کمترین فضای سبز و مناطق با کمترین دما دارای بیشترین فضای سبز هستند، همخوانی دارد. همسو با نتایج این تحقیق خسروی و همکاران (۱۳۹۶) نیز نشان دادند که با تغییر کاربری اراضی دما تغییر می‌یابد. نتایج این تحقیق با نتایج پژوهش هاشمی دره‌آبادی و همکاران (۱۳۹۴) که تحلیل توسعه جزیره حرارتی و ارتباط آن با کاربری اراضی شهر رشت را با استفاده از سری زمانی تصاویر ماهواره‌ای بررسی کردند، همخوانی دارد. معروف‌نژاد (۱۳۹۰) در زمینه تأثیر کاربری اراضی در شکل‌گیری جزایر حرارتی نشان داد که کاربری صنعتی بیشترین دما و کاربری فضای سبز کمترین دما را دارد که همسو با نتایج این تحقیق است. شکیبا و همکاران (۱۳۸۸) از نظر توجه به تأثیر کاربری اراضی و نوع کاربری اراضی در شکل‌گیری جزایر حرارتی با نتایج این پژوهش همخوانی دارد. نتایج این پژوهش همچنین با نتایج پژوهش آئو و نگو<sup>۱</sup> (۲۰۰۰) که نشان دادند مناطق دارای پوشش گیاهی دما کمتری دارند همخوانی دارد. پژوهش ونگ<sup>۲</sup> (۲۰۰۴) نیز نشان داد که مناطق دارای پوشش گیاهی و جزایر حرارتی رابطه دارند که با نتایج این تحقیق نیز همخوانی دارد. یکی از عوامل اصلی ایجاد جزایر حرارتی در سطح شهر اهواز وجود صنایع آلاینده و حرارت‌زا در مناطق صنعتی است که لازم است جهت از بین رفتن این نواحی حرارتی، صنایع مذکور به مناطق خارج از شهر منتقل گردند، البته به شرطی که انتقال این صنایع به بیرون از شهر بر وضعیت اقتصادی کارگرانی که در این صنایع کار می‌کنند، اختلالی ایجاد نکند.

<sup>1</sup> Ao & Ngo

<sup>2</sup> Weng

## منابع

- احمدی و نهری، ارمغان، غفاری، علی، طاهباز، منصوره. (۱۳۹۵). تحولات کالبد شهر و بازتاب حرارتی آن بررسی موردی: اصفهان. نامه معماری و شهرسازی، ۱۷: ۱۵۵-۱۷۱.
- ترکاشوند، محمدقاسم. (۱۳۹۵). آشکارسازی جزایر حرارتی شهر اراک مبتنی بر تحلیل‌های خودهمبستگی فضایی. فصلنامه آمایش محیط، ۳۵: ۱۲۳-۱۴۸.
- خداکرمی جمال، حاتمی مجتبی. (۱۳۹۵). جزیره حرارتی متغیری جدید در معماری و شهرسازی. تهران، فکر نو.
- خسروی یونس، حیدری محمدعلی، توکلی آزاده، زمانی عباسعلی. (۱۳۹۶). تحلیل رابطه تغییرات زمانی دمای سطح زمین و الگوی فضایی تغییرات کاربری اراضی (مطالعه موردی: شهر زنجان). برنامه ریزی و آمایش فضا (مدرس علوم انسانی)، ۲۱(۳): ۱۴۴-۱۱۹.
- جوکار، سجاد. (۱۳۹۰). بررسی الگوهای مراکز خرید و مجتمع‌های تجاری در شهر اهواز. پایان‌نامه کارشناسی ارشد، گروه جغرافیا و برنامه‌ریزی شهری، استاد راهنمای محمدعلی فیروزی، دانشگاه شهید چمران اهواز.
- سازمان جغرافیایی نیروهای مسلح. (۱۳۸۸). فرهنگ جغرافیایی آبادی‌های شهرستان اهواز، جلد اول.
- شکیبا، علیرضا، ضیاییان فیروزآبادی، پرویز. عاشورلو، داوود، نامداری، سودابه. (۱۳۸۸). تحلیل رابطه کاربری و پوشش اراضی و جزایر حرارتی شهر تهران، با استفاده از داده‌های ETM<sup>+</sup>، سنجش از دور و GIS ایران، ۱۱(۱): ۵۶-۳۹.
- علیجانی بهلول، طولابی نژاد میثم، صیادی فربیا. (۱۳۹۶). محاسبه شدت جزیره حرارتی بر اساس هندسه شهری مورد مطالعه: محله کوچه باغ شهر تبریز. تحلیل فضایی مخاطرات محیطی، ۴(۳): ۹۹-۱۱۲.
- عقیلی نسب، سیده زهرا، محمدزاده، مرجان: سلمان ماهینی، عبدالرسول و زارعی، حسین. (۱۳۹۲). تحلیل جزایر حرارتی شهری با استفاده از سنجش از دور و رابطه آن با توسعه دوستدار محیط‌زیست. دوفصلنامه محیط‌زیست و توسعه، ۴(۸): ۸۸-۷۹.
- عزی‌مند، کیوان‌عقیقی، حسین. عاشورلو، داوود. شاهی آقبلاغی، عارف. (۱۳۹۹). تجزیه و تحلیل اثرهای ویژگی‌های کالبدی و مورفوژئیکی زمین‌های ساخته شده بر تغییرات دمای سطح زمین در مناطق نیمه خشک. فصلنامه علوم محیطی، ۱۸(۲): ۱۸-۱-۱۸.
- فللاح زاده، فاطمه. (۱۳۸۸). مطالعه روند دمای میکرو اقلیم شهر یزد، پایان‌نامه کارشناسی ارشد، گروه جغرافیا، استاد راهنما احمد مزیدی دانشگاه یزد.
- دلبسته سمیه، دوستان رضا، کریمی نعمت‌الله. (۱۳۹۷). ارزیابی تغییرات فضایی دمای سطحی کلان شهر مشهد. جغرافیا و آمایش شهری - منطقه‌ای، ۱۹(۲۷): ۱۹-۲۶.
- محمودزاده، حسن و نصیری، سلطانخانم و قاسمی، ترکان. (۱۳۹۸)، جزایر حرارتی، پنجمین کنفرانس بین‌المللی مهندسی محیط‌زیست و منابع طبیعی، ۲۵ اردیبهشت ۱۳۹۸. تهران.
- معروف‌نژاد، عباس. (۱۳۹۰). تأثیر کاربری‌های شهری در ایجاد جزایر حرارتی مطالعه موردی شهر اهواز، آمایش محیط، ۱۴(۴): ۱۰۵-۱۱۹.
- هاشمی دره بادامی، سیروس، نورایی صفت، ایثار، کریمی، سعید، نظری، سجاد. (۱۳۹۴). تحلیل روند توسعه جزیره حرارتی شهری در رابطه با تغییر کاربری اراضی/پوشش با استفاده از سری زمانی تصاویر لندست. سنجش از دور و سامانه اطلاعات جغرافیایی در منابع طبیعی. ۶(۳): ۱۵-۲۸.
- Jalili, SH, Morid, S, Ziaeian firoozabadi, P, (2008). Performance comparison of satellite and meteorological indices in drought monitoring. Soil and Water Research of Iran, 1: 139- 149.
- Oke, T.R. (1998). The Energetic basis of the urban heat island. 108: 1-24
- Sobrino JA, Jiménez-Muñoz JC, Paolini L, (2004). Land surface temperature retrieval from LANDSAT TM 5. Remote Sensing of environment, 90(4): 434- 440.
- Weng, Q, Lu, D, Schubring, J, (2004). Estimation of land surface temperature–vegetation abundance relationship for urban heat island studies. Remote Sensing of Environment 89: 467 – 483.

نحوه ارجاع به مقاله:

عظیمی، الهه؛ اکبری، رضا؛ آرمین، محسن (۱۴۰۱)، تبیین رابطه جزایر حرارتی شهری و تعدادی از عوامل مورفولوژی شهر با استفاده از سنجدش از دور و سامانه اطلاعات جغرافیایی (مطالعه موردی: شهر اهواز)، فصلنامه جغرافیا و مطالعات محیطی، ۱۱، ۴۴-۵۷، Dor: 20.1001.1.20087845.1401.11.44.3.6.

**Copyrights:**

Copyright for this article is retained by the author (s), with publication rights granted to Journal of Geography and Environmental Studies. This is an open – access article distributed under the terms of the Creative Commons Attribution License (<http://creativecommons.org/licenses/by/4.0>), which permits unrestricted use, distribution and reproduction in any medium, provided the original work is properly cited.

